

perature critique (fig. 2-4), l'un des électrodes est échauffée jusqu'à l'état d'incandescence, tandis que l'autre électrode reste obscure (relativement froide). L'éclat des étincelles est très diminué et la vapeur lumineuse paraît être émise par l'électrode froide. Nous montrons maintenant que, dans ce cas, le caractères des étincelles sont semblables aux caractères de l'arc, c.a.d. la température critique est accompagnée par le changement des étincelles en arc.

Pour expliquer la température critique nous avons examiné tous les résultats de nos expériences. Parmi ces résultats un des plus intéressants est la substitution de l'augmentation de la  $L$  par l'échauffement artificiel des électrodes, c.a.d. on peut ainsi provoquer l'apparition brusque de la température critique. Au contraire, par un refroidissement des électrodes, l'arc cité peut être changé en étincelles ordinaires. Par l'examen des nos résultats expérimentaux et l'équation de la décharge nous sommes arrivé à la conclusion suivante.

*La température critique, qui correspond à la valeur critique de la self-induction du circuit de décharge, est celle qui est nécessaire pour que l'émission des électrons par l'électrode qui est à l'état d'incandescence devienne assez grande, de sorte que la décharge soit continue et les étincelles soient changées en arc.*

#### ΑΝΑΚΟΙΝΩΣΕΙΣ ΜΗ ΜΕΛΩΝ

ΜΗΧΑΝΟΛΟΓΙΑ.—Περὶ ἐκρηκτικῆς ἔξατμίσεως, ὑπὸ Εὐθυμίου *N. Μαλαγαρδῆ*. Ἀνεκοινώθη ὑπὸ τοῦ κ. Βασιλ. Αἰγινήτου.

#### I. Γενικά.

Ἡ κατὰ τὴν ἐπαφὴν ὑγρᾶς ἐπιφανείας μετὰ ὑπερθέρμου μεταλλικῆς τοιαύτης λαμβάνουσα χώραν ἀμεσος ἔξατμισις, εἶναι φαινόμενον γνωστὸν σὺν τοῖς ἄλλοις καὶ ἐκ τῶν καταστρεπτικῶν συνεπειῶν, τὰς δποίας συνεπάγεται ὑπὸ ὠρισμένας συνθήκας.

Ἡ ἀναλυτικὴ ἐν τούτοις ἔρευνα τοῦ φαινομένου, ἵδιως εἰς τὰς περιπτώσεις τῆς τεχνητῆς τούτου ἐμφανίσεως, δὲν ἔχει μέχρι τοῦτο ἀναπτυχθῆ.

Εἰδικώτερον ἔρευνάται ἐνταῦθα ἡ περίπτωσις τῆς ἐκρηκτικῆς ἀναπτύξεως ὑδρατμῶν κατὰ τὴν ἐκτόξευσιν ὕδατος πρὸς ὑπερθέρμου μεταλλικὴν ἐπιφάνειαν,

τὴν δόποιαν ἐμελέτησα μὲ τὴν ἀπωτέραν σκέψιν τῆς ἐπωφελοῦς χρησιμοποιήσεως τοῦ φαινομένου. Ὁν ἄλλοις λόγοις ἐφ' ὅσον τοῦ φαινομένου τούτου ἔχομεν καταστρεπτικὰς ἐκδηλώσεις (ἐκρηκτικές λεβήτων), θὰ εἶναι δυνατὸν ὑπὸ ὀρισμένας συνθήκας νὰ ἔχωμεν καὶ ὀφελίμους τοιαύτας.

Ἡ παροῦσα ἀνακοίνωσις περιορίζεται αὐστηρῶς εἰς τὴν ἀνάπτυξιν τῶν ἀποτελεσμάτων δύο σειρῶν πειραμάτων, τὰ δόποια διενήργησα<sup>1</sup>, εἰς ἕτεραν δὲ ἀνακοίνωσιν θὰ ἀποδείξωμεν τὸ ἔμπρακτον τῆς ἐπὶ τῇ βάσει τούτων θερμομεταρρυπῆς.

## II. Πειραματικὴ συσκευὴ καὶ πρώτη σειρὰ πειραμάτων.

Τὰ πρῶτα πειράματα ἐγένοντο τῇ βοηθείᾳ εἰδικῶς κατασκευασθείσης συσκευῆς παρισταμένης σχηματικῶς εἰς τὸ σχεδιάγραμμα 1 ἀποτελουμένης ἐκ κυλίνδρου μετὰ δύο καλυμμάτων καὶ κινητοῦ ἐμβόλου.

Τὸ ἄνω κάλυμμα τοῦ κυλίνδρου ἡ πυροκεφαλὴ ἥτο περίπου ἡμισφαιρικῆς ἐπιφανείας, τὸ δὲ κάτω ἐπιπέδου τοιαύτης. Τὸ ἐμβόλον ἀντὶ ἐλευθέρου βάκτρου ἔφερε τοιοῦτον μετὰ σπειρώματος εἰς τρόπον, ὥστε ὁ ἄνω τοῦ ἐμβόλου ἐλεύθερος χῶρος ἐξατμίσεως νὰ δύναται νὰ φυμίζεται διὰ κοχλιώσεως τοῦ βάκτρου ἐπὶ τοῦ δίκην στυπειοθλίπτου σπειρώματος τοῦ κάτω ἐπιπέδου καλύμματος, μέσῳ ἐξωτερικῆς χειρολαβῆς.

Τὸ ὕδωρ ἐξετοξεύετο εἰς τὴν ἐσωτερικὴν κούλην ἐπιφάνειαν τῆς πυροκεφαλῆς βοηθείᾳ ἀντλίας μέσῳ εἰδικῆς διανοιχθείσης δπῆς.

Τὸ βάρος τῆς πυροκεφαλῆς ἥτο 1720 grm. Ὁ χῶρος ἐξατμίσεως διὰ τὴν ἀνωτάτην θέσιν τοῦ ἐμβόλου ἐμετρήθη 153 cm<sup>2</sup>. Ἡ πυροκεφαλὴ ἐθερμαίνετο κατὰ τὸ σφαιρικὸν αὐτῆς τμῆμα μέσῳ ἐξωτερικῆς θερμικῆς πηγῆς.

Κατὰ τὰς προκαταρκτικὰς μετρήσεις ἐξετοξεύοντο 9 grm. Ὅδατος μέσῳ βαθμολογημένης ὑαλίνης σύριγγος, ἐσημειοῦτο δὲ πίεσις ἐπὶ τοῦ μανομέτρου ἵση μὲ 7 kg/cm<sup>2</sup> ὑπερθλίψεως.

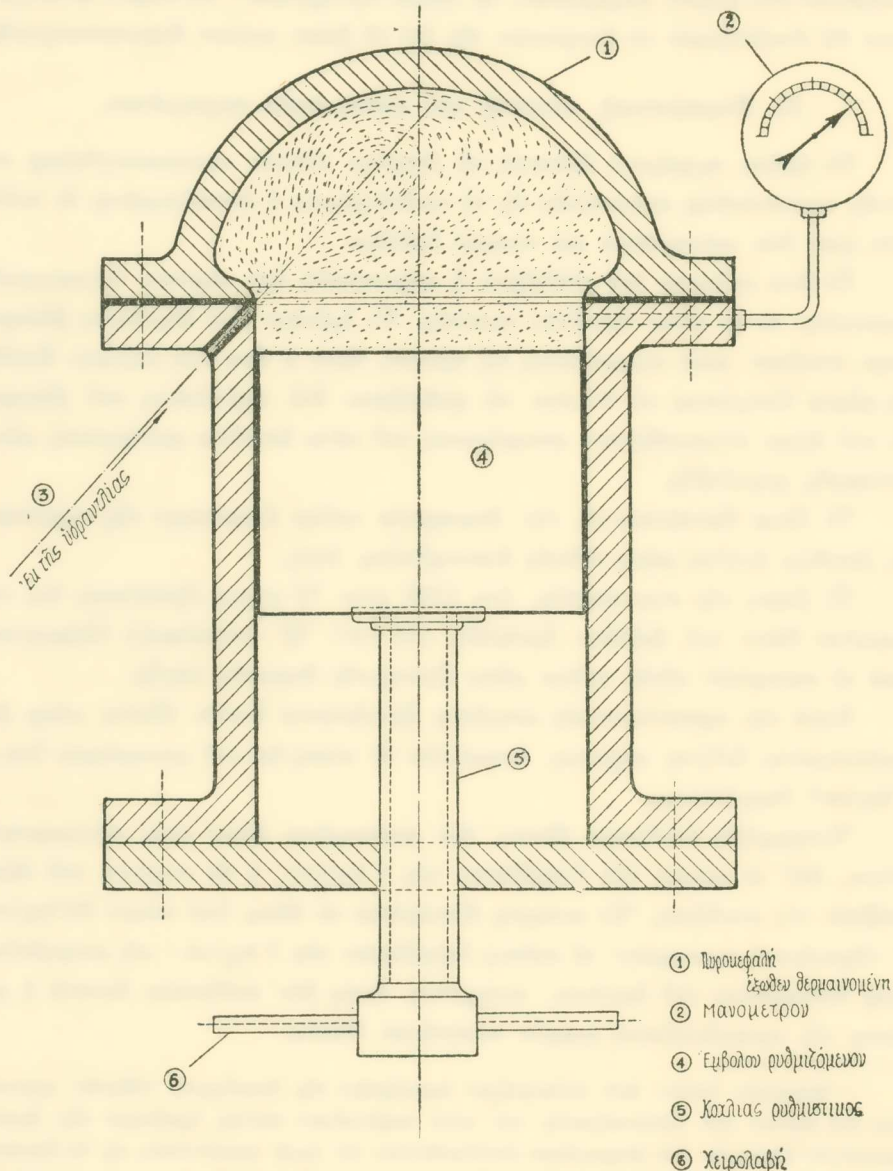
Ἐπεχειρήθη ἐκτόξευσις Ὅδατος διὰ πεπιεσμένου ἀέρος πρὸς πολυμερισμὸν τούτου, ἀλλ<sup>o</sup> αἱ πιέσεις δὲν ὑπερέβησαν τὰς 7 kg/cm<sup>2</sup>, ἡ δὲ συμβολὴ τοῦ ἀέρος μετέβαλε τὰς συνθήκας. Ὁν σινεχείᾳ ἐξετοξεύετο τὸ ὕδωρ ὑπὸ πίεσιν 50 kg/cm<sup>2</sup> δι<sup>o</sup> Ὅδραυλικοῦ πιεστηρίου· αἱ πιέσεις ὑπερέβησαν τὰς 7 kg/cm<sup>2</sup> μὴ μετρηθεῖσαι λόγῳ ἀνεπαρκείας τοῦ ὀργάνου, συγχρόνως διμως δὲν καθίστατο δυνατὴ ἡ φύμισις τῆς τροφοδοτήσεως μικρῶν ποσοτήτων Ὅδατος.

<sup>1</sup> Ἀφορμὴν λαβὼν ἀπὸ παλαιοτέραν προκήρυξιν τῆς Ἀκαδημίας Ἀθηνῶν σχετικὴν πρὸς τὴν καῦσιν τοῦ οἰνοπνεύματος καὶ κατὰ παρέκκλισιν ταύτης ἡρεύνησα τὴν ἀμεσον παραγωγὴν Ὅδρατμῶν διὰ πειραμάτων ἐκτελεσθέντων ὑπὸ ἐμοῦ προσωπικῶς εἰς τὸ ἐργοστάσιον τῶν Ἑλληνικῶν Ἡλεκτρικῶν Σιδηροδρόμων κατὰ τὸ ἔτος 1943, ὅπου τότε ὑπηρέτουν.

### III. Δευτέρα σειρά πειραμάτων και όπολογισμοί.

Κατεσκευάσθη χειροκίνητος άντλια ἐκτοξεύουσα 10 grm. ὕδατος ἀνὰ ἐμβολισμόν. Τὸ ἐμβολὸν τοῦ κυλίνδρου ἥχθη εἰς θέσιν τοιαύτην, ὅστε νὰ ἀφίνεται χῶρος ἔξατμίσεως  $220 \text{ cm}^3$ .

Ἐγένοντο δύο προθεμάνσεις τῆς πυροκεφαλῆς και διενηργήθησαν τέσσα-



1. Σχεδιάγραμμα τῆς πειραματικῆς συσκευῆς.

## ΠΙΝΑΞ 1.

	Μεγέθη μετρηθέντα ἡ ὑπολογισθέντα	Μέτρησις 1 γ	Μέτρησις 2 α	Μέτρησις 3 γ	Μέτρησις 4 γ
2	Θερμοχασία τῆς πυ- ροκεφαλῆς εἰς °C	500 475 470 —	475 525 550 —	350 —	370 250 200 — — —
3	Απόδυντος πλευρικής εἰς Kg/cm <sup>2</sup>	4 5 8 13	13 17 21 23	16 16 16 16	14 12 10 10 10
4	Έπικοξυμένον γύδων εἰς grm.	10 20 30 40	10 20 30 40	10 20 30 40	10 20 30 40 50
5	Πλευρικότητα X εἰς άτμιον.	0,044 0,026 0,024 0,029	0,136 0,085 0,063 0,050	0,167 0,079 0,047 0,036	0,147 0,06 0,03 0,023 0,017
6	Απορροφημένη έκα- στοτε θερμ. Kcal	1,480 2,944 4,950 7,567	2,396 4,564 6,864 9,112	2,632 4,448 6,218 8,100	2,480 4,004 5,328 6,971 8,561
7	Ειδικός δύναστος μεί- γματος m <sup>3</sup> /kg.	0,022 0,011 0,007 0,005	0,022 0,011 0,007 0,005	0,022 0,011 0,007 0,005	0,022 0,011 0,007 0,005 0,004

ρες σειραὶ μετρήσεων ὑπὸ τὸν αὐτὸν χῶρον ἔξατμίσεως  $V = 220 \text{ cm}^3$ . Ἐκάστη σειρὰ μετρήσεων περιελάμβανε τέσσαρας παρατηρήσεις, πλὴν τῆς τελευταίας τῶν πέντε παρατηρήσεων, δι' ἐκτοξεύσεως ἐκάστοτε 10, 20, 30, 40 καὶ 50 grm. ὕδατος, βοηθείᾳ ἀναλόγου ἀριθμοῦ ἐμβολισμῶν τῆς ἀντλίας.

Ἐπομένως οἵ τηρούμενοι σταθεροὶ ὅγκοι ἐκάστης παρατηρήσεως ἦσαν:

$$v_1 = \frac{V_1}{G_1} = \frac{0,000220}{0,010} = 0,022 \text{ m}^3 \text{ kg}, v_2 = 0,011 \text{ m}^3 \text{ kg}, v_3 = 0,0073 \text{ m}^3/\text{kg}, v_4 = 0,0055 \text{ m}^3/\text{kg}$$

Αἱ θερμοκρασίαι τῆς ἔσωτερικῆς σφαιρικῆς ἐπιφανείας τῆς πυροκεφαλῆς ἐμετρῶντο δι' ἡλεκτροθερμικοῦ πυρομέτρου 1100°C, ἀναφέρονται δὲ εἰς τὴν δευτέραν δριζόντιον σειρὰν τοῦ πίνακος 1.

Αἱ πιέσεις τοῦ ἀναπτυσσομένου ἀτμοῦ κατὰ τὰς ἐκάστοτε ἐκτοξεύσεις, ἐμετρῶντο διὰ μανομέτρου βιομηχανικοῦ τύπου μονίμως προσαρμοζομένου εἰς τὸ χεῖλος τοῦ σφαιρικοῦ χώρον ἔξατμίσεως, αἱ τιμαὶ δὲ αὗται ἀναγράφονται εἰς τὴν τρίτην δριζόντιον σειρὰν τοῦ πίνακος 1. Ἡ βαρομετρικὴ κατάστασις δὲν ἐσημειώθη.

Οἱ παρερχόμενοι χρόνοι διὰ τὴν ἐκτόξευσιν 10 grm. ὕδατος μέχρις ἐνδείξεως τοῦ μανομέτρου δὲν ὑπερέβαινε τὸ ἐν δευτερόλεπτον.

Ἡ ἐπιφάνεια, ἡ προσβαλλομένη ὑπὸ τοῦ ἐκτοπιζομένου ὕδατος 10 grm. εἰς τὸ ἔσωτερικὸν τῆς θερμῆς σφαιρικῆς πυροκεφαλῆς, ἐμετρήθη περίπου 100 cm<sup>2</sup> κατὰ μέσον ὅρον, ἡ δὲ ἀρχικὴ θερμοκρασία τοῦ ὕδατος ἦτο 18°C.

Ἐπὶ τῇ βάσει τῶν ἐκ μετρήσεως μεγεθῶν ὑπελογίσθησαν:

α) Ἡ εἰς ἀτμὸν περιεκτικότης τοῦ προκύπτοντος δι' ἔξατμίσεως μείγματος ὕδρατμῶν, ἐκ τοῦ τύπου τῶν μειγμάτων  $x = \frac{v - v'}{v'' - v'}$  ἐνθα  $v$  εἶναι ὁ ἐκάστοτε εἰδικὸς ὅγκος τοῦ μείγματος, τὰ δὲ  $v'$   $v''$  ἐλήφθησαν ἐκ τῶν πινάκων τῶν ὕδρατμῶν<sup>1</sup>.

Τὰ ἔξαγόμενα τοῦ ὑπολογισμοῦ ἀναγράφονται εἰς τὴν πέμπτην δριζόντιον τοῦ πίνακος 1.

β) Τὸ ποσὸν θερμότητος τὸ μεταβιβαζόμενον εἰς τὴν ἐκάστοτε ἐκτοξευομένην ποσότητα ὕδατος, ἵνα προκύψῃ ἡ ἀντίστοιχος κατάστασις μείγματος ὕδρατμον, ὑπελογίσθη ἐκ τῆς σχέσεως  $q_m = q + xr$  ἐνθα τὰ μεγέθη  $q$  καὶ  $r$  ἐλήφθησαν ἐκ τῶν πινάκων τῶν ὕδρατμῶν, τὰ ἔξαγόμενα δὲ ἀναγράφονται εἰς τὴν ἐκτηνὴν δριζόντιον σειρὰν τοῦ Πίνακος 1.

γ) Ὁ συντελεστὴς τῆς κατὰ τοὺς τρεῖς τρόπους μεταβιβαζομένης θερμότητος εἰς τὸ προσπῖπτον ἐπὶ τῆς διαπύρου πυροκεφαλῆς ὕδωρ, ἥτοι δι' ἀγωγιμότητος, μεταφορᾶς καὶ ἀκτινοβολίας, δύναται νὰ ὑπολογισθῇ λαμβανομένης κατὰ Gröber<sup>3</sup> τῆς θερμοκρασίας τοῦ ἔσωτερικοῦ τῆς πυροκεφαλῆς καὶ διὰ τὴν περίπτωσιν ἐκτοξεύσεως 10 grm ὡς κάτωθι:

$$Q = \alpha (\vartheta_w - \vartheta_f) F.t \quad \text{ήτοι} \quad \alpha = \frac{Q}{(\vartheta_w - \vartheta_f) F.t}$$

ούτω διὰ τὴν 1ην παρατήρησιν τῆς θερμότητος μεταβολής εὑρίσκουμεν ἐκ τοῦ πίνακος 1

$$Q = q = 2,632 \text{ Kcal. } \vartheta_w - \vartheta_f = 200^\circ \text{C } F = 0,0100 \text{ m}^2 \text{ t} = 1''$$

$$\alpha = \frac{2,632}{\frac{200 \cdot 0,01}{3600}} = 4732 \text{ Kcal} / \text{m}^2 \cdot \text{h.}^\circ \text{ c}$$

#### IV. Εξαγόμενα.

Ἐκ τῶν ἀνωτέρω προκύπτει ὅτι εἶναι δυνατὴ ἡ ἐντὸς μικροῦ χρονικοῦ διαστήματος ἀνάπτυξις ὑδρατμῶν δι᾽ ἐκτοξεύσεως καταλλήλως ὑπολογιζομένης ποσότητος ὕδατος πρὸς ὑπέρθερμον μεταλλικὴν ἐπιφάνειαν. Ὁ χρόνος ὁ μετρηθεὶς 1'' διὰ κειροκίνητον ἀντλίαν δύναται διὰ μηχανικὴν τοιαύτην νὰ περιορισθῇ εἰς κλάσμα τοῦ δευτερολέπτου. Η σημειωθεῖσα πίεσις 23 at δύναται νὰ καταστῇ μεγαλύτερα, διότι εἰς τὰ ὡς ἄνω πειράματα τὸ ἔμβολον τοῦ κυλίνδρου δὲν ἔτοι ἐφωδιασμένον δι᾽ ἐλατηρίου καὶ ἄνω τῶν 20 at ἐσημειοῦντο διαφυγαί.

Τὸ προκύπτον μεῖγμα ὑδρατμοῦ εἶναι ὑγρᾶς καταστάσεως, τῆς ὑγρασίας αὐξανομένης εἰς τὴν περίπτωσιν ὑψηλοτέρων πιέσεων (δη σειρὰ πίνακος 1), διότι συμφωνεῖ θεωρητικῶς ὡς ἐκ τῆς μορφῆς τῶν ισογύκων καμπύλων πλησίον τῆς πρώτης δρικῆς τῶν ὑδρατμῶν<sup>3</sup>, (βλέπε διάγραμμα T.S. ὑδρατμῶν).

Ἐὰν αὐξήσωμεν τὴν κινητικὴν κατάστασιν τοῦ ἐκτοξευομένου ὕδατος εἶναι δυνατὸν νὰ προκύψουν πολὺ μεγαλύτεραι τιμαὶ τοῦ συντελεστοῦ α ἀπὸ τὴν ὑπολογισθεῖσαν  $\alpha = 4732$ , ἥτοι νὰ μεταβιβάσωμεν πολὺ μεγαλύτερα ποσὰ θερμότητος, ἐπιτυγχάνοντες οὕτως ὑψηλοτέρας πιέσεις ἢ ξηρότερα μείγματα.

Ἐν συμπεράσματι καθίσταται ἐφικτὴ ἡ ἐντὸς ἐλαχίστου χρονικοῦ διαστήματος κατὰ τρόπον ἐκρηκτικὸν παραγωγὴν ὑδρατμῶν πιέσεως καὶ ὑγρασίας θυμιζομένης δι᾽ ἐκτοξεύσεως καὶ στροβιλισμοῦ ὕδατος πρὸς ὑπέρθερμον μεταλλικὴν ἐπιφάνειαν.

#### SUMMARY

The main object of the experiments described in this paper was to find a method of producing explosive evaporation by means of injecting water into a closed, heated, spherical vessel.

The writer constructed a device (fig. 1) and into it, using a hand pump, he sprayed 10, 20, 30, or 40 grams. of water. He measured the pressure increases due to the vapours produced by a manometer attached

to the vessel and the temperature of the outside surface of the sphere with a thermocouple. These readings are shown in Table 1.

He calculated the moisture contained in the vapors and the quantity of heat absorbed in each case. These results can also be seen in Table 1. For one of the case he calculated  $a$ , the coefficient of heat transfer.

In conclusion, the writer would like to state, as proved by these experiments, that it is possible to have such explosive evaporation and also to employ this principle as a method of changing heat into mechanical work.

#### ΒΙΒΛΙΟΓΡΑΦΙΑ

- 1) *E. N. Μαλαγαρδῆ*, Πίνακες θερμοδυναμικῆς. ("Εκδοσις Σχολῆς Ν. Δοκίμων").
- 2) *Gröber*, Einführung in die Lehre von der Wärmeübertragung. "Εκδοσις J. Springer 1926.
- 3) *E. Schmidt*, Einführung in die technische Thermodynamik. "Εκδοσις J. Springer 1936.
- 4) *Hausbrand-Kirsch*, Verdampfen, Kondensieren und Kühlen. "Εκδοσις 6η. J. Springer.

**ΦΩΤΟΓΡΑΜΜΕΤΡΙΑ.** — 'Ο σχετικὸς προσανατολισμὸς δι' ὑπολογισμῶν· ἐφαρμογὴ τῆς μεθόδου τῶν ἐλαχίστων τετραγώνων, ὑπὸ *Κωνστ. Κλαδᾶ*\*. 'Ανεκοινώθη ὑπὸ τοῦ κ. Βασιλ. Αἰγινήτου.

Πρὸς προσδιορισμὸν τῶν στοιχείων τοῦ σχετικοῦ προσανατολισμοῦ ζεύγους φωτογραφικῶν πλακῶν ἐφαρμόζομεν σήμερον, ὡς ἐπὶ τὸ πλεῖστον, τὴν διπλομηχανικὴν μέθοδον ἐπινοηθεῖσαν ὑπὸ τοῦ V. Gruber.

Κατὰ τὴν μέθοδον ταύτην ἐπιτυγχάνομεν τὸν σχετικὸν προσανατολισμὸν διὰ διαδοχικῶν προσεγγίσεων, ἐὰν ἔξαλειψωμεν τὰς κατακορύφους παραλλάξεις ἐπὶ τοῦ στερεοσκοπικοῦ διμοιώματος εἰς πέντε σημεῖα καταλλήλως ἐκλεγόμενα. Γενικῶς δυνάμεθα ἐπίσης νὰ προσδιορίσωμεν τὰ στοιχεῖα τοῦ σχετικοῦ προσανατολισμοῦ δι' ὑπολογισμοῦ, ἐὰν θεωρήσωμεν τὰς ἔξισώσεις τῶν κατακορύφων παραλλάξεων εἰς πέντε σημεῖα τοῦ στερεοσκοπικοῦ διμοιώματος καὶ ἐπιλύσωμεν τὸ σύστημα πέντε ἔξισώσεων μὲ πέντε ἀγνώστους (τὰ πέντε στοιχεῖα τοῦ σχετικοῦ προσανατολισμοῦ).

Εἰς τὴν πρᾶξιν δὲν ἐφαρμόζομεν τὴν μέθοδον ταύτην δι' ὑπολογισμοῦ, διότι ἀπαιτεῖ μακρὰν σειρὰν κοπιωδῶν ὑπολογισμῶν. Ἐν τούτοις ὑπάρχουν περιπτώ-

\* C. CLADAS: L'orientation relative par calcul. Application de la méthode des moindres carrés.